

Zentralanstalt für Meteorologie und Geodynamik



Publikation Nr. 182

Seismische Aufzeichnungen in Wien
1955

This book was donated to the ISC
from the collection of
Professor Nicolas N Ambraseys
1929-2012

SEISMISCHE AUFZEICHNUNGEN IN WIEN

=====

Wien, Hohe Warte $\varphi = 48^{\circ}14.9'N$
 $\lambda = 16^{\circ}21.7'E$

Höhe ü.d. Meer = 198 m
 Untergrund: Löß, darunter Lehm

Instrumente: Horizontalseismograph Bauart WIECHERT, 1000 kg
 Vertikalseismograph Bauart WIECHERT, 1300 kg
 Nahbebenpendel Bauart CONRAD, 24 kg

- 1955 -

Datum	Phase	Komponente	G.M.T.			Bemerkungen
			h	m	s	
3. Jänner	ePn	N E Z	1	09	31	STUTTGART: Griechenland
	e	N E Z		09	39	
	i	Z		10	15	
	i	N E		10	35	
	iSn	Z		12	12	
	e	Z		12	30	
	M F			14 1	24	
5. Jänner	e!PKP	Z	1	10	13	Horizontalpendel nicht in Betrieb
	i	Z		10	49	
	iPKP	Z		11	31	
	e(PP)	Z		14	10	
5. Jänner	ePKP	N E Z	18	08	09	
	e	Z		08	59	
	e	N E		09	16	
	ePP	N E Z		10	59	
	M F	T = 24	19 19	08 30		
6. Jänner	(e)PKP	N E Z	0	01	26	
	ePP	N E Z		04	46	
	i	E		05	09	
	iSKP	E		05	44	
	iSKP	E		06	39	
	M F	T = 23	1 1	02 21		
	8. Jänner	e	Z	7	53	
e		Z		53	54	
(e)		Z		55	(29)	
i		Z		56	00	
i		Z		56	13	
(e)		Z		58	(29)	
e F		Z		59 8	11 06	
10. Jänner	i	N E Z	22	02	44	schwach
	i	N E Z		03	14	
	F		22	05		

Datum	Phase	Komponente	G.M.T. h m s	Bemerkungen
13. Jänner	iP	E Z	2 15 53	
	iPcP	E Z	16 04	
	i	E Z	16 16	
	i	E Z	17 16	
	ePP	Z	19 01	
	M F	T = 20	54 3 20	
28. Jänner	e	Z	17 11 46	schwach, durch Mikroseismen gestört
	M	T = 19	32 11	
	F		17 52	
31. Jänner	i	N E Z	16 14 15	starke Mikroseismen
	i	Z	14 45	
	e	Z	16 42	
	i	Z	17 40	
	M	T = 17	55	
	F		17 12	

Pendelkonstanten ab 31. Jänner 1955

Seismograph	Komp.	V	To	ε:1	r/To ²
WIECHERT-Horizontal, 1000 kg	NS	179	8.9 ^B	4.4	0.004
	EW	223	7.2	3.3	0.005
WIECHERT-Vertikal, 1300 kg	Z	205	2.2	4.0	0.014

6. Februar	eP	Z	2 33 39	BCIS: Jan Mayen
	e	N E Z	34 10	
	e	N Z	35 23	
	(e)PcP	Z	37(02)	
	eS	N	38 18	
9. Februar	M	T = 15	45.5.	STUTTGART: Foggia (Süd-Italien) 1. Einsatz unsicher
	F		3 00	
	e	Z	10 08 56	
21. Februar	i	N E Z	09 16	Spuren durch Mikroseismen gestört
	i!	N E Z	10 49	
	F		18	
23. Februar	M	N E	19 53.9	Spuren durch Mikroseismen gestört
23. Februar	i	Z	5 16 38	in N und E nur Spuren
23. Februar		N E	9 48-55	Spuren
27. Februar	1!PKP	N E Z	21 03 23	Δ ~ 18.000
	i	N E Z	04 01	
	1!PKP	Z	04 44	
	i	E Z	05 21	
	1!PP	Z	07 56	
	i	N Z	08 12	
	i(SKS?)	N E Z	09 48	
	1PPP	N	11 43	
	e(SKKS)	N E	16 20	
	i	N	17 57	
10. Jänner	M	T ~ 65	53	
	M	T ~ 30	22 02	
	M	T ~ 20	16	
	F		23 00	

Datum	Phase	Komponente	h	m	s	Bemerkungen
1. März	e	Z	1	58	40	USCGS: Küste von Brasilien in N und E nur Spuren
1. März	e	Z		59	54	
1. März	F		2	03		
1. März	(e)	N E Z	4	53	(31)	USCGS: Yukon, USA. schwach gestört durch Mikroseeismen, 1. Einsatz in Minutenlücke
	i	E Z		54	09	
	i	E Z		54	50	
	i	E Z		56	16	
	ei	N E	5	02	16	
	M			26		
	F		5	40		
6. März	M	T = 17	14	34		USCGS: Philippinen
10. März	e	N E Z	21	29	57	USCGS: Samoa Inseln
	i	N E		30	10	
	i	N E Z		30	23	
	e	N E Z		30	58	
	F		21	34		
14. März	e	N E	13	34	26	1. Einsatz wegen Mikroseeismen nicht auswertbar
18. März	iP	N E Z	0	18	19	USCGS: bei Ostküste von Kamtschatka
	e!	E		19	(56)	
	e!S	N E		27	50	
	L	E		40		
	M	E		51		
	M	N	1	01		
	F	nach	2		h	
18. März	e?	Z	6	51	36	STUTTGART: 1150, Benevent, Süditalien, in N und E erster Einsatz nicht auswertbar
	e?	Z		52	(57)	
	i	E		53	12	
	M	N E Z		53.5		
	F	nach	7			
22. März		N	2	50-51		Spuren USCGS: Nordatlantik
22. März	iP	N Z	14	17	54	USCGS: Indischer Ozean in N und E starke Mikroseeismen
	i!	Z		17	59	
	i!	E		18	02	
	e!	N		19	42	
	eSKS	E		28.3		
	M	N		57		
	M	E	15	01		
	F		15	20		
28. März	e	Z	9	24	39	USCGS: Riu-Kiu Inseln sehr schwach und durch Mikroseeismen gestört
	e	N E Z		24	55	
	M	N	10	05		
	F		10	1/4		
28. März	e?Pn	E Z	14	48	45	BCIS: Jonisches Meer
	e?	N		48	54	
	e(Sn)	E		50	58	
	e!SgSg	N		51	55	
	e!SgSg	E		52	00	
	M	N E Z		53		
	F	nach	15		h	

Seismische Aufzeichnungen in Wien	Datum	Phase	Komponente	h	m	s	Bemerkungen
	1. März	e	Z	1	58	40	USCGS: Küste von Brasilien in N und E nur Spuren
	1. März	e	Z		59	54	
	1. März	F		2	03		
	1. März	(e)	N E Z	4	53	(31)	USCGS: Yukon, USA. schwach gestört durch Mikroseeismen, 1. Einsatz in Minutenlücke
		i	E Z		54	09	
		i	E Z		54	50	
		i	E Z		56	16	
		ei	N E	5	02	16	
		M			26		
		F		5	40		
	6. März	M	T = 17	14	34		USCGS: Philippinen
	10. März	e	N E Z	21	29	57	USCGS: Samoa Inseln
		i	N E		30	10	
		i	N E Z		30	23	
		e	N E Z		30	58	
		F		21	34		
	14. März	e	N E	13	34	26	1. Einsatz wegen Mikroseeismen nicht auswertbar
	18. März	iP	N E Z	0	18	19	USCGS: bei Ostküste von Kamtschatka
		e!	E		19	(56)	
		e!S	N E		27	50	
		L	E		40		
		M	E		51		
		M	N	1	01		
		F	nach	2		h	
	18. März	e?	Z	6	51	36	STUTTGART: 1150, Benevent, Süditalien, in N und E erster Einsatz nicht auswertbar
		e?	Z		52	(57)	
		i	E		53	12	
		M	N E Z		53.5		
		F	nach	7			
	22. März		N	2	50-51		Spuren USCGS: Nordatlantik
	22. März	iP	N Z	14	17	54	USCGS: Indischer Ozean in N und E starke Mikroseeismen
		i!	Z		17	59	
		i!	E		18	02	
		e!	N		19	42	
		eSKS	E		28.3		
		M	N		57		
		M	E	15	01		
		F		15	20		
	28. März	e	Z	9	24	39	USCGS: Riu-Kiu Inseln sehr schwach und durch Mikroseeismen gestört
		e	N E Z		24	55	
		M	N	10	05		
		F		10	1/4		
	28. März	e?Pn	E Z	14	48	45	BCIS: Jonisches Meer
		e?	N		48	54	
		e(Sn)	E		50	58	
		e!SgSg	N		51	55	
		e!SgSg	E		52	00	
		M	N E Z		53		
		F	nach	15		h	

Datum	Phase	Komponente	h	m	s	Bemerkungen
1. März	e	Z	1	58	40	USCGS: Küste von Brasilien in N und E nur Spuren
1. März	e	Z		59	54	
1. März	F		2	03		
1. März	(e)	N E Z	4	53	(31)	USCGS: Yukon, USA. schwach gestört durch Mikroseeismen, 1. Einsatz in Minutenlücke
	i	E Z		54	09	
	i	E Z		54	50	
	i	E Z		56	16	
	ei	N E	5	02	16	
	M			26		
	F		5	40		
6. März	M	T = 17	14	34		USCGS: Philippinen
10. März	e	N E Z	21	29	57	USCGS: Samoa Inseln
	i	N E		30	10	
	i	N E Z		30	23	
	e	N E Z		30	58	
	F		21	34		
14. März	e	N E	13	34	26	1. Einsatz wegen Mikroseeismen nicht auswertbar
18. März	iP	N E Z	0	18	19	USCGS: bei Ostküste von Kamtschatka
	e!	E		19	(56)	
	e!S	N E		27	50	
	L	E		40		
	M	E		51		
	M	N	1	01		
	F	nach	2		h	
18. März	e?	Z	6	51	36	STUTTGART: 1150, Benevent, Süditalien, in N und E erster Einsatz nicht auswertbar
	e?	Z		52	(57)	
	i	E		53	12	
	M	N E Z		53.5		
	F	nach	7			
22. März		N	2	50-51		Spuren USCGS: Nordatlantik
22. März	iP	N Z	14	17	54	USCGS: Indischer Ozean in N und E starke Mikroseeismen
	i!	Z		17	59	
	i!	E		18	02	
	e!	N		19	42	
	eSKS	E		28.3		
	M	N		57		
	M	E	15	01		
	F		15	20		
28. März	e	Z	9	24	39	USCGS: Riu-Kiu Inseln sehr schwach und durch Mikroseeismen gestört
	e	N E Z		24	55	
	M	N	10	05		
	F		10	1/4		
28. März	e?Pn	E Z	14	48	45	BCIS: Jonisches Meer
	e?	N		48	54	
	e(Sn)	E		50	58	
	e!SgSg	N		51	55	
	e!SgSg	E		52	00	
	M	N E Z		53		
	F	nach	15		h	

Datum	Phase	Komponente	G.M.T.			Bemerkungen
			h	m	s	
31. März	e?P	Z	18	30	32	USCGS: 8°N, 124°E, Mindanao Magnitude 7 $\frac{1}{4}$
	i	E Z		30	42	
	e!	N		31	08	
	e!PP	N E Z		34	42	
	iSKS	N E		41	25	
	eiS	N		42	18	
	ePS	N Z		43	20	
	e!PS	E		43	32	
	e(SS)	N E		48.5		
	eSSS	N E		53.0		
	G	N	19	01		
	MQ	N		10		
	MR	E Z		18	u.20	
F		20	$\frac{1}{2}$			
31. März	M	N E	21	45-57	USCGS: Nachbeben	
4. April	e	E Z	11	23	53	USCGS: Südküste von Formosa S-Phase sehr undeutlich und durch Mikroseismen gestört
	e	N		24	04	
	i?	E		25	39	
	L	N E		56		
	M	N E Z	12	07		
F		12	25			
5. April	e?	Z	14	15	11	USCGS: Formosa N, E: durch Mikroseismen ver- deckt
5. April	L	N	15	49		USCGS: Golf von Kalifornien
	M	N E Z	16	01-06		
	F		16	35		
13. April	iPn	Z	20	48	37	$\Delta \sim 1200$ km BCIS: Peloponnes, Südgriechen- land
	i	N		48	43	
	i	E		49	20	
	eSgSg	Z		52	04	
	e!SgSg	Z		52	11	
	e!	N		52	44	
	M	8,9,- s		53		
F		nach	21	h		
14. April	e	N E Z	1	39	47	$\Delta = 7300$ km
	ePP	Z		42	14	
	e!S	E		48	36	
	iS	N		48	44	
	eScS	N		49	44	
	e	N E		50	51	
	i	N		51	58	
	eSS	N E		53.0		
	e!	N E		56.0		
	M	17,12,11 ^s	2	05		
F		3	30			
15. April	iP	N E Z	3	48	47	
	i	N		48	55	
	i	N		49	10	
	(e!)	Z		50	27	
	(e)	N E		50(30)		
	e!	N		58	03	
	M	15,12,16 ^s	4	05,08,10		
	F		im folgenden			

Datum	Phase	Komponente	G.M.T. h m s	Bemerkungen
15. April	eP	Z	4 21 18	Nachbeben
	i	N E Z	21 24	
	e!	Z	22 55	
	e?	Z	33	
	M	N	38	
	M	E Z	40	
	F		5 45	
17. April	eP	Z	18 47 10	Mikroseismen, besonders in E Komponente
	e	N	47 13	
	e	E	47 16	
	eS(?)	N	57 05	
	e	N	57 45	
	L	N E	19 14	
	M	N: 15 ^s	25	
	M	E: 13 ^s	30	
	F		nach 20 ^h	
19. April	iPn	N E Z	16 49 50	Δ ~ 1130 km BCIS: Volos, Thessalien, Griechenland
	e	N	50 52	
	i?	E	51 43	
	i?	N	51 55	
	(i)	E	52 (35)	
	i	Z	52 47	
	iSgSg	N E	53 00	
	i	Z	53 18	
	M	5, 8, 7 ^s	55	
	M	8, 8, -	57	
	F		17 ½	
19. April	e	Z	20 43 08	
	e!	Z	43 21	
	e	E	43 30	
	e	N	43 (35)	
	e	E	51 11	
	L	N	21 15	
	M	18, 21, 22 ^s	28	
	M	Z: 17 ^s	37	
	F		22 20	
21. April	i	Z	7 20 49	BCIS: Nachbeben in Griechen- land
	i	N E	20 52	
	i?	E	21 54	
	i	N E	22 22	
	i?	N	22 57	
	i?	N	24 02	
	i	E Z	24 11	
	M	T = 8 ^s	26	
	F		7 47	
22. April	e	E	10 11 22	schwach, in Z nicht registriert
	F	N E	10 17	
24. April	i	Z	13 07 33	Wiechertpendel außer Be- trieb, Conradpendel Spuren 13 Uhr 24-26
	F	Z	13 37	



Datum	Phase	Komponente	G.M.T. h m s	Bemerkungen
28. April	eP	Z	19 17 13	äußerst schwach, Mikro- seismen USCGS: Aleuten
	S	N	27	
	M	N	47	
	M	E	52 u. 61	
	F		20 25	
1. Mai	iP	N E Z	10 07 34	schwach in Z USCGS: Japan
	e	E	17.4	
	M	N	47	
	M	E	51	
	F		11 25	
1. Mai	e	Z	14 11 02	Spuren in Z STUTTGART: Nachbeben
	M	N	48-58	
	M	E	53-60	
1. Mai	i	Z	21 24 40	USCGS: Ostrumänien
	e	N E	26 00	
	e!	E	26 18	
	M	E	28	
	F		21 30	
3. Mai	M	N	17 56-18 ⁿ 11	Spuren USCGS: Japan
8. Mai		N E	21 49-57	Spuren BCIS: Algerien
12. Mai		N E Z	14 20	Spuren einer Nahbeben- registrierung
13. Mai		N E	20 00-06	Spuren
14. Mai	iP	N Z	6 16 21	sehr schwach USCGS: Bonin-Inseln
17. Mai	eP	Z	15 01 43	$\Delta = 8.700$ km USCGS: Nikobaren
	iP	E Z	01 46	
	i!	N	01 54	
	i	N	05 13	
	iS	N E	11 30	
	iSS	N E	16 31	
	i	E	17 30	
	(eSSS)	N E	20 u. 21	
	M	N	41	
	M	E	48	
	F		16 50	
22. Mai	iPn	N E Z	4 58 29.6	$\Delta = 385$ km Epizentrum: Innsbruck, Tirol leichte Gebäudeschäden, 6 $\frac{1}{2}$ ° M.S.
	iPg	E Z	58 40	
	iPgPg	N Z	58 48	
	iSn	N E Z	59 10	
	(Sb)	N E Z	59 27	
	iSgSg	Z	59 39	
	F		5 06	



Datum	Phase	Komponente	G.M.T. h m s	Bemerkungen
26.Mai	(e)	Z	16 42 26	USCGS:Salomon Inseln
	e?	E	44 57	
	e	N	45 54	
	i	E	46 26	
	M F	N E	17 40 nach 18h	
29.Mai		N	15 ^h 52-17 ^h 14	schwach ausgeprägt, in E,Z Spuren
30.Mai	iP	N Z	12 43 59	Δ = 10.600 km, tiefer Herd USCGS:Vulkan Inseln
	iP	E	44 02	
	(e)pP	Z	46(08)	
	i!PP	E	47 52	
	iPP	N Z	47 54	
	ePPP	Z	49 49	
	e	Z	52 48	
	iSKS	N E Z	53 40	
	i(SKKS)	N	54 16	
	iS	N	54 49	
30.Mai	(e)SS	N	13 09	nach 14h
	M	N E	23-30	
	F			
30.Mai		N E	23 ^h 45-24 ^h 50	Spuren eines Fernbebens
		Z	23 45-50	
31.Mai		N E	1 10-15	geringfügige Spuren
2.Juni	(e)	N E	0 31(10)	Z wegen fehlerhafter Registrierung ausgefallen USCGS:Aleuten
	e	N	41 44	
	e!	N	42 13	
	M F	N E	1 09-13 gegen 2h	
2.Juni	M	N E	2 53-57	schwach USCGS: Aleuten
2.Juni	(e)	Z	23 37.1	Beginn der Aufzeichnung sehr undeutlich BCIS:Westküste Türkei
	e	N	38 21	
	e	N Z	39 39	
	i	E	40 03	
	M F	N E	41.6 24 05	
3.Juni		N E Z	11 48-53	nicht weiter analysierbare schwache Registrierung BCIS:Norwegen
4.Juni	M	N	17 40-43	USCGS:Japan
5.Juni	e	Z	6 23 43	in E wenig ausgeprägt, in Z geringfügige Spuren USCGS:Formosa
	e	N	33 55	
	e	N	54.7	
	F		7 10	
5.Juni	eP	Z	15 00 02	S in Minutenlücke, Z:schwach BCIS:Orléansville, Algerien
	iP	N E	00 05	
	(e)S	N E	03(12)	
	M	N E	08	
	F		15 25	

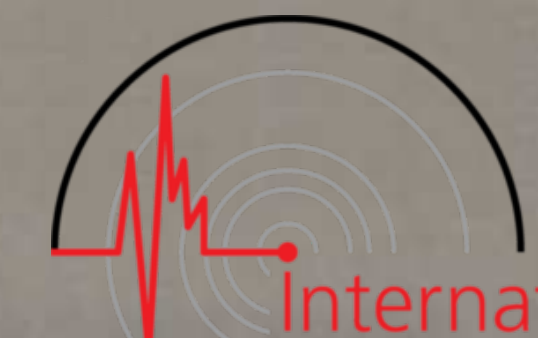
Datum	Phase	Komponente	G.M.T.			Bemerkungen
			h	m	s	
7. Juni	e (M) F	Z N E N	0	59	52	Z: Spuren USCGS: China
12. Juni	e e M F	Z N E Z	20	42	43	Z: sehr schwach USCGS: Kurilen
				42	48	
			21	15	u. 18	
			21	40		
13. Juni		N E Z	20	20		Spuren
13. Juni		N E Z	21	55		Spuren
13. Juni	e e i i i F	Z N E Z N Z E	22	32	41	Nahbeben
				32	43	
				32	54	
				33	34	
				33	38	
			22	40		
14. Juni	M	N E N E	6 ^h 30	-	7 ^h 35	STUTTGART: 10.200 km
			7	10		
14. Juni	e M F	Z N	17	34	23	schwach und undeutlich Spuren in Z USCGS: Japan
			18	14	-20	
			18	30		
15. Juni		N E Z	8	44	}	sehr schwache Nahbebenauf- zeichnungen Epizentrum: Innsbruck, Tirol
15. Juni		N E Z	9	41		
17. Juni	e e M F	Z N E Z N N	8	19	03	in E und Z nur Spuren
				19	08	
				52		
			9	10		
20. Juni	eiP iP e!S iS M M F	N Z E E N E N	12	19	38	$\Delta \sim 9.000$ km
				19	40	
				29	50	
				29	54	
				55		
				59		
			13	55		
23. Juni	eiPn i e F	N E Z N E	22	25	31	sehr schwach
				26	00	
				26	29	
			22	30		

Pendelkonstanten ab 24. Juni 1955

Seismograph	Komp.	V	To	$\epsilon:1$	r/T_0^2
WIECHERT - Horizontal, 1000 kg	NS	200	8.9s	3.8	0.005
	EW	210	7.2	3.5	0.005
WIECHERT - Vertikal, 1300 kg	Z	200	2.2	3.1	0.016



Datum	Phase	Komponente	G.M.T. h m s	Bemerkungen
27. Juni	eP	Z	10 22 57	Z: sehr schwach N,E: kein ausgeprägtes Maximum USCGS: Himalaja
	e	E	24 56	
	e	E	30 00	
	F		nach 11 Uhr	
28. Juni	eP	Z N	4 35 44	Z: Spuren USCGS: Nordpolargebiet
	L	N E	50	
	(M)	N	5 04	
	F		5 15	
28. Juni	iPn	N Z	7 15 27	$\Delta = 600$ km Epizentrum S von Belgrad
	i	Z	15 31	
	iPg	N E	15 41	
	iSn	E	16 28	
	iSt	N	16 53	
	iSg	E	17 00	
	M	N E	18.5	
28. Juni			7 30	
		N E Z	7 55-58	Spuren, Nachbeben
3. Juli	e	Z	14 38 43	Z: sehr schwach N,E: starke mikroseismische Unruhe USCGS: Aleuten
	e	N E	38 50	
4. Juli	eP	N Z	14 31 55	Z: sehr schwach USCGS: Aleuten
	i	Z	32 13	
	e	E	32(16)	
	e	N E	42 49	
	M	N	15 11, 16, 20	
6. Juli	F		15 30	
	e	N Z	2 06 02	USCGS: Kamtschatka
	M	N E Z	42-44	
6. Juli	F		3 10	
	(e)	N E Z	10 12.9	undeutlich und sehr schwach
	(M)	N	14.1	
F		10 20		
6. Juli	e	N Z	15 19 08	sehr schwach USCGS: Tonga Inseln
	e	N E Z	19 32	
	F		15 23	
8. Juli	e	N	18 57 58	USCGS: Fidschi Inseln
	i	Z	58 01	
	i	Z	58 12	
	e	Z	58 31	
	F		19 10	
9. Juli	(e)	Z	16 56 03	Nahbeben
	e	Z	56 34	
	i	N E	56 42	
	i	E	57 55	
	i	N Z	58 00	
	e	N E	58.4	
	M	N E	59.0	
	F		17 10	



Datum	Phase	Komponente	G.M.T.			Bemerkungen
			h	m	s	
9. Juli	ePn	Z	23	55	50	BCIS: 40.9°N, 22.1°E West-Mazedonien, Griechenland
	e	N E		55	59	
	i	E		56	08	
	e	Z		56	52	
	i	E		57	26	
	e!	E		57	55	
	i	N E		58	05	
	(L)	E Z		58.4		
	M	N E		59.0		
	F		24	15		
10. Juli	e	E	4	21	10	Z: geringfügige Spuren schwaches Nachbeben
	e	N		21	25	
	i(L)	E		22	41	
	F		4	35		
10. Juli		N E Z	11	40-45	Spuren	
10. Juli		N E Z	14	40-45	Spuren USCGS: Tonga Inseln	
10. Juli		N E	22	45-50	Spuren	
11. Juli	eP	Z	20	31	00	sehr schwach USCGS: Atlantik
	e	N E		31	14	
	e	Z		32	52	
	e	E		33	07	
	e	Z		34	40	
	eS	E		38.8		
	M	N E		55		
	F		nach 21 ^h			
16. Juli	ePz	N E Z	7	10	23	Schreibhebel des Horizontal- pendels in der M-Phase aus den Lagern gehoben Δ = 1550 km BCIS: 37°N, 27½°E Ägäisches Meer
	iPn	N E Z		10	26	
	e!	Z		10	33	
	i	N E		11	29	
	i	Z		11	52	
	i	E		12	06	
	i	Z		12	36	
	iSn	N E Z		13	05	
	e	N Z		13	45	
	i	N Z		14	19	
	eSgSg	E		14	43	
	M			16		
	F			7	40	
17. - 28. Juli Horizontalpendel außer Betrieb						
18. Juli	iP	Z	11	49	10	USCGS: Neu Hebriden
	e!PP			52	30	
	e			53	51	
23. Juli	ePn	Z	3	55	28	TRIESTE: Friaul, Norditalien
	iPg			55	38	
	e			56	06	
	M			56	33	

Datum	Phase	Komponente	C.M.T.			Bemerkungen
			h	m	s	
23. Juli	(e)	Z	19	29	(57)	Nachbeben
	e	Z		30	20	
	e	Z		30	43	
	M	Z		30	55	
24. Juli	e	Z	1	24	34	schwach USCGS: Samoa
	e			24	52	
24. Juli	i	Z	11	14	34	schwach USCGS: Japan
	e			14	45	
24. Juli	i	Z	16	32	30	schwach USCGS: Nähe Formosa
	e			32	57	
27. Juli	e	Z	18	30	57	Spuren USCGS: Kodiak-Insel

Pendelkonstanten ab 2. August 1955.

Seismograph	Komp.	V	To	$\epsilon:1$	r/To^2	
WIECHERT-Horizontal 1000 kg	NS	190	9.6	3.1	0.008	
	EW	205	7.2	4.4	0.005	
6. August	ei	Z	8	50	36	M-Phase fehlt, Tiefherdbeben USCGS: Tonga Inseln
	i	N E		50	39	
	i	E Z		51	20	
	i	N Z		51	45	
	e	N		52	18	
	i	E		53	01	
	e	N Z		53	32	
	e	N		55	36	
	(1)	E	9	00	(07)	
	e!	N		00	40	
e	N		01	20		
F		nach 9	30			
10. August	e?	Z	22	48	18	sehr schwach
	e	N Z		48	37	
	e	E		48	42	
	i	Z		48	49	
16. August	e	Z	12	05	36	
	e	N E Z		05	46	
	e!	N E		08	36	
	e!	N Z		12	38	
	e!	N E		14	19	
	(M)	N		52		
F		13	05			
21. August	e	Z	17	52	40	
	e	Z		53	24	
	e	E Z		55	51	
	e	E		57	38	
	e	N E	18	02	56	
	(e)	N		09	(04)	
	G	N		28		
	M	N E		40		
F		19	00			
23. August	e	Z	15	42	01	Spuren, in E keine Aufzeichnung
	e	Z		45	12	
	M	N	16	24		



Datum	Phase	Komponente	G.M.T.			Bemerkungen
			h	m	s	
28. August	e	Z	13	42	30	N,E:Vorläufer durch Mikro- seismen verdeckt Z:sehr schwach BCIS:Dodekanes
	(e)	E		47	(03)	
	M	N Z		48	.6	
	M	E		49	.8	
28. August	F		14	00		starke Mikroseeismen USCGS:Guatemala
	e	Z	20	26	34	
	e	E		37	29	
	M	N E Z	21	05		
3. September	M	N Z		08		sehr schwach USCGS:Guatemala
	F		21	35		
	(e)	Z	12	49	18	
	e	Z		49	51	
3. September	M	N	13	31		Beginn der Aufzeichnung sehr undeutlich, tiefer Herd USCGS:Celebes
	M	E		33		
	F		13	45		
	(e)	Z	16	38	34	
4. September	(e)	Z		40	51	USCGS:Japan
	e	Z		42	15	
	e	Z		43	37	
	i	N E Z		46	49	
	(M)	N	17	18	u.25	
4. September	F		17	30		USCGS:Zentralafrika
	e	Z	19	21	35	
	e	N E		21	36	
4. September	F		19	25		Spuren USCGS:Zentralafrika
	e	Z	22	21	28	
	F	Z		21	37	
7. September		Z	22	24		sehr schwach USCGS:Indischer Ozean
	i	Z	3	30	18	
	i	Z		32	48	
8. September	(e)	Z	2	22	25	N,E:Mikroseeismen Z:Spuren USCGS:Sandwich Inseln
	F	N		2	40	
8. September	ei	Z	3	46	22	zwei Erdbeben E:Mikroseeismen USCGS:Salomon-I. und Panama
	e	N E		46	29	
	i	Z		46	46	
	e	N	4	05	.5	
	M	N		44		
9. September	F		4	55		USCGS:bei Sumatra
	ei	N Z	9	54	48	
	i	Z		55		
11. September	F	Z	10	00		nur in N-Komponente erkennbar USCGS:Salomon Inseln
	M	N	19	24		
12. September	1P	N E Z	6	13	43	Herd tiefer als normal BCIS:32°N, 30°E Nordküste Ägyptens
	1S	E		17	07	
	1S	N		17	10	
	F		6	50		

Datum	Phase	Komponente	G.M.T.			Bemerkungen
			h	m	s	
15.Sept.	(e)	Z	21	57	(59)	erster Einsatz in Minutenlücke STUTTGART: $\Delta = 800-1000$ km
	i	E		59	22	
	e!	E		59	26	
	F			22	02	
19.Sept.	i	Z	6	12	18	STUTTGART: $\Delta = 650-700$ km
	i	N E Z		12	50	
	F		6	16		
20.Sept.	(e)	Z	13	40	24	schwache, durch Mikroseismen gestörte Aufzeichnung USCGS:Kermadec-Inseln
	(e)	N E Z		41	(02)	
	(e)	N		51	41	
22.Sept.	iP	N Z	3	37	32	in Z schwach $\Delta = 9300$ km USCGS:bei Formosa
	e	N		37	42	
	eS	N E		47	49	
	M	N	4	12		
	F	E		21		
23.Sept.	iP	E Z	15	17	21	in Z schwach $\Delta = 7400$ km USCGS:südliches China
	i	N		18	21	
	ePPP	N		21	23	
	ePPP	E		21	30	
	e!S	N		26	19	
	eScS	N E		27	17	
	L	N E		34		
	M	N E Z		45		
	M	N E		53		
	F		16	40		
24.Sept.	eiP	N E Z	10	33	58	in Z schwach $\Delta = 9400$ km USCGS: bei Formosa
	e	E		44	17	
	e	N		44	20	
	M	N	11	12, 17, 19		
	F	E		16, 19		
25.Sept.	eP	Z	19	13	11	tiefer Herd USCGS:südliche Philippinen
	e	N E Z		13	30	
	e!	E		23	33	
	e!	N		23	35	
	e!	Z		23	38	
	F		19	40		
26.Sept.	eiP	Z	8	41	09	$\Delta = 10.000$ km tiefer Herd USCGS:Süd-Mexiko
	ei	E		42	17	
	i	N Z		42	21	
	e!	N		43	47	
	e	Z		44	12	
	ePP	N E Z		44	45	
	ei	E		49	32	
	eSKS	E		51	22	
	eS	N E		51	46	
	e!sS	N E		52	53	
	(eSS)	N		59	(02)	
(M)	N	9	07	u.09		
F		9	30			
29.Sept.	eiP	Z	20	10	23	sehr schwach USCGS:Japan



Oktober 1955

Seismische Aufzeichnungen in Wien

Datum	Phase	Komponente	G.M.T. h m s	Bemerkungen
1. Oktober	ei	Z	19 08 48	nur in Z USCGS:Neu Hebriden
2. Oktober		Z	18 02-04	Spuren
5. Oktober		N E Z	2 59-64	Spuren
5. Oktober	e	Z	9 09 34	nur in Z USCGS:Kamtschatka
10. Oktober	ePKP	Z	9 16 48	$\Delta = 13.700$ km USCGS:Neu Britanien
	i	N E	16 55	
	i	Z	17 34	
	iPP	E Z	18 23	
	e	N	20 18	
	ePPP	N	21 11	
	iSKS	N E	23 31	
	iSKS	E	24 12	
	iPS	E	28 25	
	ePS	N	28 31	
	iPPS	N E	29 45	
	(e)SS	N E	36(01)	
	eSSS	E	39 44	
	L	N	55	
	M	E Z	10 09 u.12	
	M	N	11 u.14	
	F		11 40	
10. Oktober		N E Z	21 11-15	Spuren
13. Oktober	ePKP	N E Z	9 45 59	Analyse nach Stuttgart USCGS:Salomon Inseln
	ePP	E	48 16	
	i	N E	48 46	
	iSKP	Z	49 23	
	iSKP	N E	49 25	
	M	N	10 41 u.47	
	F		11 05	
19. Oktober	ei	Z	10 06 37	N,E Mikroseismen Z:schwach
	e	N E	06 40	
	e	E Z	07 24	
	e	N E	07 34	
	M	N E Z	44	
	F		11 00	
21. Oktober	e	Z	4 44 05	N,E:Mikroseismen Z: sehr schwach
	ei	E Z	44 14	
	e	Z	53 10	
	e!	Z	54 09	
	i	E	54 12	
21. Oktober	ei	N Z	19 21 17	N,E: F in Mikroseismen
	i	N E Z	21 25	
	i	N Z	22 19	
	e	Z	26 33	
	e	Z	27 31	
21. Oktober	e	Z	23 27 56	sehr schwach
	M	N	24 04	
	F		24 20	
30. Oktober	e	Z	19 39 24	sehr schwach
	e	N Z	39 31	
	e	E	40 36	



Datum	Phase	Komponente	G.M.T.			Bemerkungen
			h	m	s	
10. November	iPKP	N E Z	2	03	39	Herd tiefer als normal USCGS: Samoa Inseln
	iPKP	N E		03	41	
	i	N Z		04	14	
	i	N		04	24	
	i	E		05	09	
	i	N		05	47	
	F	N E		06	19	
	F	E Z	2	30		
12. November	(e)P	N E Z	5	38	(00)	P u. S in Minutenlücke Δ ~ 3200 km BCIS: Rotes Meer
	i	Z		38	16	
	i	E		38	28	
	e	N E		38	42	
	iPP	N		39	15	
	iPP	Z		39	19	
	(e)S	N E		43	(00)	
	eL	N		46	36	
	F		6	05		
	23. November	i	N E Z	5	48	
i		N		48	31	
i		E Z		48	33	
23. November	(e)	Z	6	29	35	mikroseismische Unruhe BCIS: 46.3°N, 7.2°E Wallis, Schweiz
	i	Z		29	48	
	iSn	N E Z		30	38	
	i	Z		30	50	
	eSg	N		31	17	
	iSg	E		31	20	
	i	Z		31	31	
	M	N E Z	6	35		
23. November	eP	Z	6	41	14	SSS in Minutenlücke Δ = 8.600 km USCGS: bei Süd-Kamtschatka
	iP	E		41	17	
	e!P	N		41	18	
	e!P ⁷	Z		41	48	
	e!	N E		42	33	
	i	Z		43	21	
	iPP	E		44	12	
	iPP	N		44	15	
	iS	N E		50	56	
	e!S	N		51	20	
	e!PS	N		51	55	
	(e)SSS	N		7	00(03)	
	L	N E		07		
	M ₁	N E Z		18		
M ₁	N E Z		23			
F ²		7	40			
7. Dezember	eP	Z	15	16	22	N, E: starke Mikroseeismen Z: Spuren USCGS: Bonin-Inseln
	(eSKS)	N		26.8		
	M	N		57		
	M	N E	16	01		
9. Dezember		N E Z	1	16-18	Spuren	



Datum	Phase	Komponente	G.M.T.			Bemerkungen
			h	m	s	
9. Dezember	e	Z	2	15	08	Z: sehr schwach STUTTGART: $\Delta \sim 1200$ km
	e	Z		15	45	
	e	N		16	05	
	e	E, Z		16	06	
	e	N E		17	36	
	F			2	20	
13. Dezember	e	Z	17	06	42	N, E: Spuren
	e	Z		06	59	
	e	Z	17	07	37	
14. Dezember	e	Z	11	02	36	N E: starke Mikroseismen Z: schwach USCGS: Grenze Burma-Pakistan
	(e)	N E		02	7	
	M	N	11	30		

Pendeleichung am 23. Dezember 1955

Seismograph	Komp.	V	To	$\epsilon:1$	r/To^2
Wiechert-Horizontal, 1000 kg	NS	180	9.2	3.1	0.005
" " "	EW	225	6.5	3.8	0.005
Wiechert-Vertikal, 1300 kg	Z	165	2.2	2.5	0.009

W i e n, 18. Jänner 1956

E. T r a p p